

外语能力：

4、 外语能力证书

444

**大学英语四级考试
成绩报告单**



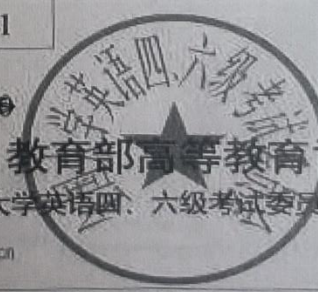
姓 名：夏灿
学 校：云南农业大学
院（系）：工程技术学院
准考证号：
身份证号：
考试时间：2010 年 12 月

总分：444

听力 (35%)	阅读 (35%)	综合 (10%)	写作和翻译 (20%)
151	151	51	91

成绩单编号：10115003000000000000

教育部高等教育司
委托发布单位：全国大学英语四、六级考试委员会
考委会网址：www.cet.edu.cn



学术能力：

CSCD

5. 学术能力证明材料

2025年4月 44

材料工程 Journal of Materials Engineering Vol. 33 No.4 Apr. 2025 pp. 41-51

引用格式：夏斌,许世春,杨继革,等. Ni含量对Al-5.6Zn-2.5Mg-1.0Cu合金热裂倾向的影响[J]. 材料工程, 2025, 33(4): 41-51.
XIA Bin, XU Shichun, YANG Jiguo, et al. Influence of Ni content on hot tearing tendency of Al-5.6Zn-2.5Mg-1.0Cu alloys [J]. Journal of Materials Engineering, 2025, 33(4): 41-51.

Ni含量对Al-5.6Zn-2.5Mg-1.0Cu合金热裂倾向的影响

Influence of Ni content on hot tearing tendency of Al-5.6Zn-2.5Mg-1.0Cu alloys

夏斌^{1,2},许世春³,杨继革⁴,罗红梅⁵,徐振明⁶,吴凡¹,李再文¹

(1) 云南机电职业技术学院,交通工程学院,昆明 650200;
(2) 昆明理工大学航天与航空学院,昆明 650500;
(3) 西双版纳职业技术学院,云南西双版纳 666003;
(4) 兰州现代职业学院,财经商贸学院,兰州 730000;
(5) XIA Bin^{1,2}, XU Shichun³, YANG Jiguo⁴, LUO Hongmei⁵,
XU Zhenming⁶, WU Fan¹, LI Zaiwen¹

(1) Faculty of Transportation Engineering, Yunan Vocational College of Mechanical and Electrical Technology, Kunming 650200, China; (2) Faculty of Civil Aviation and Aeronautics, Kunming University of Science and Technology, Kunming 650500, China; (3) Xishuangbanna Vocational and Technical College, Xishuangbanna 666003, Yunnan, China; (4) Faculty of Finance and Business, Lanzhou Modern Vocational College, Lanzhou 730000, China)

摘要:采用数值模拟与实验结合的方法,研究Ni含量对Al-5.6Zn-2.5Mg-1.0Cu-xNi(x=0%,0.1%,0.3%,0.5%)质量分数下合金热裂倾向的影响。用ProCAST软件对合金热裂倾向进行模拟,并结合OM,SEM,XRD,室温拉伸,分析显微镜,热裂倾向指数(heat tearing indicator,HTI),有效应力等分析方法系统地研究Al-Zn-Mg-Cu系合金的热裂行为和力学性能。结果表明:当Ni含量小于0.5%时,HTI随Ni含量的增加先增加后降低,当Ni含量为0.5%时,HTI值为0.1%;当Ni含量大于0.5%时,HTI随Ni含量的增加也呈先增加后降低的变化趋势,当Ni含量为0.5%时,有效应力最低,与最低点相比,增加0.5%Ni的合金热裂倾向性显著降低,力学性能大幅度提升,抗拉强度提高了54.7%,屈服强度提高了48.4%,延伸率提高了45.1%。数值模拟的结果与实验结果具有很好的一致性。

关键词:Al-5.6Zn-2.5Mg-1.0Cu合金;热裂倾向;数值模拟;有效应力

doi:10.11806/j.issn.1003-4831.2025.04-0043-09

中图分类号:TG145.2,TB8 文献标识码: A 文章编号: 1003-4831(2025)04-0043-09

constraint not also indicates a trend of first increasing and then decreasing with the increase of Ni content, and when the Ni content is 0.5%, the effective stress is the lowest. Compared to the alloy without Ni addition, the alloy with 0.5%Ni addition shows a significant reduction in hot tearing sensitivity, a substantial improvement in mechanical properties, an increase of 54.7% in tensile strength, an increase of 48.4% in yield strength, and an increase of 45.1% in tensile strain. The numerical simulation results are in good agreement with the experimental results.

Key words: Al-5.6Zn-2.5Mg-1.0Cu alloy; hot tearing tendency; numerical simulation; effective stress

Al-5.6Zn-2.5Mg-1.0Cu-xNi合金属于典型的Al-Zn-Mg-Cu系合金,该系合金具有力学性能优良、质轻、比强度高、耐腐蚀性和疲劳韧性好,通过热处理强化等优点^[1-2],被广泛应用于汽车工业、轨道交通、航空航天、工程机械、电子产品及轻质太阳电池支架等领域^[3]。然而,Al-Zn-Mg-Cu系合金属于变形铝合金,热裂倾向成为该系合金在铸造领域的缺点和痛点^[4]。降低合金热裂倾向的根本途径可以实现“以势代能”,降低生产成本。热裂倾向又称热脆性^[5],在铸造成型中,当熔体凝固收缩及热收缩,收缩小得不彻底时,热裂就会发生。热裂倾向在合金产品严重的影响,引起事故和损失,所以降低铸件热裂和消除热裂纹是一个长期需要研究的课题^[6]。关于热裂的机理,国内外的研究者进行了大量研究,比较主流的四种理论主要集中在液膜理论^[7]、强拉理论^[8]、晶间滑移理论^[9]和凝固收缩补偿理论^[10]方面。Sokoluk等^[11]对三种铝合金进行系统研究,发现在凝固过程中,熔壳融化被推迟的期间浇注带限制了液相体积和晶粒的长大,在凝固的最后阶段,增加的液相分数和更小的晶粒有效地防止了合金的热裂。

Liu等^[12]研究了Ni对铸造Al-Zn-Mg-Cu合金热裂的影响,发现Ni元素的添加使AlNi析出,可以提高抗热裂性。Li等^[13]认为,改变模具温度和浇铸温度能够改善Al-Cu合金热裂的形成和裂纹行为。本工作采用数值模拟与实验结合的方法,用ProCAST软件对合金的热裂倾向进行系统的模拟研究,并结合OM,

SEM,XRD,室温拉伸,断面相,应力场,热裂指数(heat tearing index,HTI),有效应力等分析方法研究Al-Zn-Mg-Cu系合金的热裂行为和力学性能,旨在降低Al-Zn-Mg-Cu系合金的热裂倾向,提高力学性能,改善综合性能,进一步拓展该系合金的应用范围。

1 数值模拟及实验过程

1.1 数值模拟

图1为实验用待测件和待测件示意图,热裂防筋的零件模型用UG软件创建,未做夹具的热裂防筋作为待测模型,如图1(a)所示。其主要尺寸参数为:左边直浇道的直径为50 mm,横浇道的直径为20 mm,从上向下一共5根水平热裂防筋,每根热裂防筋的总长度依次为100,150,200,250,300 mm。热裂防筋的厚度采用扣箱模型,如图1(b)所示。扣箱模型用于固定待测件,其尺寸分别为420,100,300 mm。在ProCAST仿真模拟过程中,其数值模拟的数学模型满足质量守恒定律、动量守恒定律和能量守恒定律。

1.1.2 数据拟合参数设置

划分网格、体网格后,材料赋值时对模具均采用国际4341钢,模具的预热温度设置为150℃,应力类型设置为Rigid;待测件的材料为Al-5.6Zn-2.5Mg-1.0Cu合金热裂的形成和裂纹行为。本工作采用数值模拟与实验结合的方法,用ProCAST软件对合金的热裂倾向进行系统的模拟研究,并结合OM,

图1 实验用待测件(a)和扣箱(b)示意图

面换热设置为(COINC, 换热系数 $k=2000\text{ W/(m}^2\text{K)}$)。每次模锻时, 铸件主要工艺参数均设置3组, 分别是直浇道上表面浇注口的浇铸速度为 0.5 kg/s , 模型四周、底面及外表空气对流采用 20°C 下空冷, 模型前后两侧面设置约束为 $Z=0$ 方向固定。采用应力充型、温度场、流动、应力场同时耦合进行计算。

1.2 实验过程

1.2.1 试样制备

结合仿真实结果, 制备Al-5.6Zn-2.5Mg-1.0Cu-xNi(x=0%, 0.5%)合金试样, 其化学成分及参数如表1所示, 其中T₁为固相线温度, T₂为液相线温度, ΔT为固液相温差。试样制备时, 过热度为 70°C , 模具温度为 150°C 。原材料采用99.9%纯铝块, 99.8%纯锌块, 99.8%纯镁块, 99.9%纯铜粉, 99.9%纯镍粉配制而成, 配料考虑Zn, Mg的挥发和烧损量均为5%, 其余原材料不计挥发和烧损量。

电压40 kV, 扫描测试加速电流50 mA, 扫描速度 $0.01^\circ/\text{s}$ 。将X射线衍射仪检测所得的物相结果用MDI-jade软件进行物相分析。采用扫描电子显微镜观察样品的显微特征及组织形貌, 进行SEM面扫描和点扫描时, 结合电镜自带EDS能谱检测功能, 对物相分布情况以及化学成分进行半定量评估, 打印物相的能谱图。

1.2.2 力学性能测试

用丝切割机从每个铸件的近端同一位置截出待用于拉伸实验的试样, 拉伸试样尺寸参考GB/T 228.1-2021。采用万能试验机进行常温力学性能测试, 温度为 18°C , 拉伸速率为 1 mm/min 。拉伸后进行线切割制取SEM试样, 然后用扫描电子显微镜观察断口形貌。

2 实验结果

2.1 合金热裂的模拟仿真

HTI的前驱大, 热裂倾向大。图3为Al-5.6Zn-2.5Mg-1.0Cu-xNi(x=0%, 0.1%, 0.3%, 0.5%)合金的热裂模拟结果, 可以看出, 随着Ni含量的增加, HTI的最大值随Ni含量的增加呈现先增加后降低的趋势, 当x=0.5%时, HTI最大值仅为0.0281, 为4组材料中的最小值, 当x=0.3%时, HTI最大值为0.0428, 当x=0.5%时, 合金热裂倾向最小。

2.2 合金的微观结构

为了进一步研究Ni含量为0.5%时热裂倾向降低的原因, 制备Al-5.6Zn-2.5Mg-1.0Cu-xNi(x=0%, 0.5%)两种状态下的试样, 并对试样进行扫描电镜测试及物相检测, 合金组织如图4所示。可以看出, Ni的加入使得合金的晶粒尺寸减小, 晶粒明显得到细化。

图5为Al-5.6Zn-2.5Mg-1.0Cu-xNi合金的面扫描测试结果。可以看出, 随着Ni的加入, 组织发生明显的变化, 特别是在析出物的数量、形态和分布方面。当x=0%时, 如图5(a)所示, 大多数析出相呈连续的网状或块状分布于晶界上。当x=0.5%时, 如图5(b)所示, 析出相形态各异, 数量增加, 大多数析出相呈不连续状及带状, 点状分布于晶界上。对比图5(a), (b)可以发现, 合金在A基体内的分布相对均匀, 在晶界处都有网状及相对连续的第二相, 晶界内有点状及骨头状的第二相, 晶界内的元素分布无明显的变化现象。

Al-5.6Zn-2.5Mg-1.0Cu-xNi合金物相检测结果如图6所示。与x=0%的合金相比, 在x=0.5%的合



图3 Al-5.6Zn-2.5Mg-1.0Cu-xNi合金热裂模拟结果

(a)x=0%;(b)x=0.1%;(c)x=0.3%;(d)x=0.5%
Fig.3 Heat cracking simulation results of Al-5.6Zn-2.5Mg-1.0Cu-xNi alloy
(a)x=0%;(b)x=0.1%;(c)x=0.3%;(d)x=0.5%

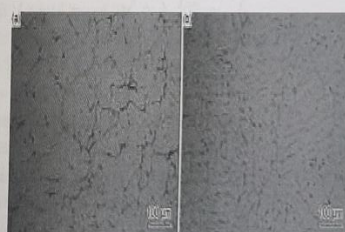


图4 Al-5.6Zn-2.5Mg-1.0Cu-xNi合金组织

(a)x=0%;(b)x=0.5%
Fig.4 Micrograph structures of Al-5.6Zn-2.5Mg-1.0Cu-xNi alloy
(a)x=0%;(b)x=0.5%

金中检测到AlNi相。AlNi相可以细化合金晶粒形成为共晶组织, 改善合金的流动性^[10]。添加Ni的合金生成AlNi, 改善合金的凝固过程, 提高合金的流动性, 增加凝固末期的补缩, 减少凝固末期的收缩应力, 从而降低合金凝固末期的热裂倾向。

2.3 合金的力学性能

情况下 Al-5.6Zn-2.5Mg-1.0Cu-xNi (x=0%, 0.5%)合金室温下的拉伸力学性能如图7所示。可

知, 不添加Ni的合金抗拉强度为 162.10 MPa , 屈服强度为 126.49 MPa , 弹性模量为 73.04 GPa , 断裂前的拉伸应变为 0.35% ; 添加 0.5% Ni的合金抗拉强度为

250.91 MPa , 屈服强度为 187.82 MPa , 弹性模量为 73.31 GPa , 断裂前的拉伸应变为 2.02% ; 与未添加Ni的合金相比, 添加 0.5% Ni的合金抗拉强度提高了 54.79% , 屈服强度提高了 48.49% , 拉伸应变提高了 461% 。

3 分析与讨论

3.1 Ni含量对热裂倾向的影响

在图3的热裂模拟结果中, 随着Ni含量的增加, HTI的最大值随Ni含量的增加呈现先增加后降低的

将配制好的金属进行熔炼, 取取x为0%, 0.5%的样, 分别在两铸锭的相同位置取样, 用于微观组织表征及力学性能测试, 取样位置如图2所示。



图2 取样位置
Fig.2 Sampling positions

1.2.2 微观组织表征

通过砂纸打磨, 抛光, 使用Keller试剂($190\text{ mL H}_2\text{O}+2\text{ mL HF}+5\text{ mL HNO}_3+3\text{ mL HCl}$)腐蚀后制备金相, 用于表征材料的微观组织, 用X射线衍射仪对合金试样光滑表面进行物相检测。物相检测参数为: Cu靶材, 扫描范围 $10^\circ\sim110^\circ$, 扫描测试加速

